

УДК 550.3 : 622.02 (075.8)

К. Л. Дудко, А. И. Шиканов

## ВЛИЯНИЕ ГЕОЛОГИЧЕСКОГО СТРОЕНИЯ ЭЛЕКТРОПРОФИЛЯ НА КАЖУЩЕЕСЯ ЭЛЕКТРОСОПРОТИВЛЕНИЕ ПОРОД

В геологическом отношении железорудные месторождения Сибири имеют много общего [1]. Углы падения рудных тел составляют, как правило,  $70\text{--}90^{\circ}$ . Вмещающая толща сложена крутопадающими массивами скарна, сланцев, известняков, порфирита, сиенита и др. При этом массивы характеризуются дизъюнктивными тектоническими нарушениями, высокой трещиноватостью. Трещинная тектоника ориентирована в основном в меридиональном направлении.

Применяемое на рудниках для прогноза горных ударов электропрофилирование проводится в выработках, ориентированных горизонтально. При проведении электропрофилирования с контура горных выработок линия профиля может пересекать границы различных по составу слоев пород, плоскости нарушений и крупных трещин. Поэтому источник поля, линия наблюдений и поверхности раздела могут занимать различные положения в пространстве.

В работе [2] рассмотрена задача влияния вертикального плоского контакта двух сред с удель-

ными электросопротивлениями ( $\rho_1$  и  $\rho_2$ ,  $\rho_1 > \rho_2$ ) на параметры поля точечного источника. Получены формулы для расчета кажущегося удельного электросопротивления ( $KU\bar{\rho}_C$ ) вдоль профиля.

Результаты расчетов по этим формулам приведены на рис.1, 2.

Результаты расчетов показывают, что контакт двух сред существенно влияет на распределение  $KU\bar{\rho}_C$  по профилю измерений. Отражение тока от границ вносит существенный вклад в величины  $KU\bar{\rho}_C$ , отклоняя их значения от истинного  $U\bar{\rho}_C$  тем больше, чем больше коэффициент отражения тока.

В работе [2] также рассмотрена модель неоднородной среды, представляющей полупространство из нескольких крутопадающих пластов с плоскими границами.

Если расстояние между границами превышает размеры измерительной установки, то задача сводится к выделению одиночных контактов. Иначе

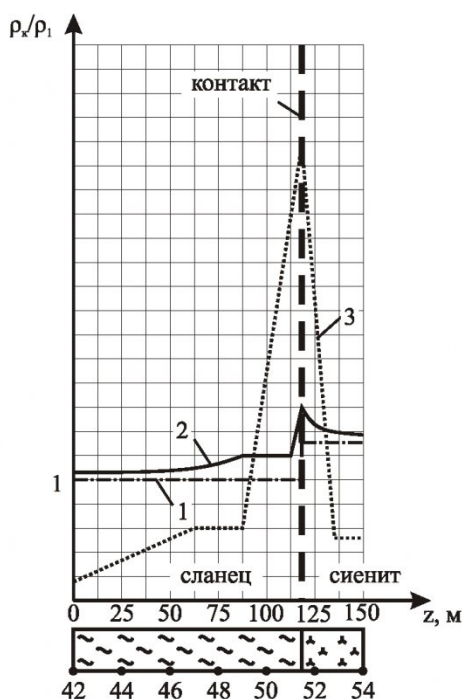


Рис. 1 Распределение КУЭС над контактом сланцев и сиенита

1 – модель удельных сопротивлений ( $\rho_2/\rho_1$ );  
2 – теоретический график КУЭС;  
3 – измеренные значения КУЭС; 42-54 – номер пикета

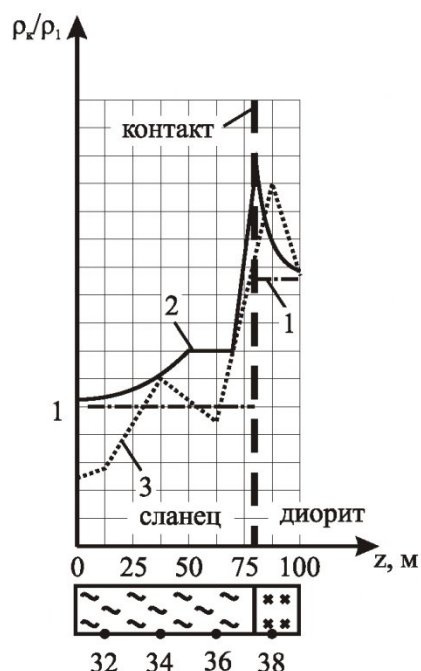


Рис. 2 Распределение КУЭС над контактом сланцев и диорита

1 – модель удельных сопротивлений ( $\rho_2/\rho_1$ );  
2 – теоретический график КУЭС; 3 – измеренные значения КУЭС; 32-38 – номер пикета

необходимо учитывать экранирующее влияние соседних пластов.

Для случая, когда крайние пласти имеют неограниченную мощность, получены следующие выражения для потенциальных функций  $U_i$  и градиентов потенциала  $\partial U_i / \partial z$  в каждом слое:

$$U_i(r, z) = \int_0^{\infty} (a_i e^{-mz} + b_i e^{mz}) I_0(mr) dm \quad (1)$$

$$\frac{\partial U_i}{\partial z} = - \int_0^{\infty} (a_i m e^{-mz} + b_i m e^{mz}) I_0(mr) dm \quad (2)$$

где  $I_0(mr)$  - функция Бесселя нулевого порядка первого рода;  $m$  - переменная интегрирования, имеющая смысл частоты повторяемости цилин-

дрической функции на единицу длины;  $a_i, b_i$  - постоянные коэффициенты ( $i = 1, 2, \dots, 5$ ).

Ввиду неограниченности первого и пятого слоев коэффициенты  $a_1 = I\rho_1 / 4\pi$  и  $b_5 = 0$ . Остальные коэффициенты можно найти с помощью граничных условий, предусматривающих равенство потенциалов и нормальных составляющих плотности тока на границах раздела сред.

Решив систему уравнений для выбранного варианта и определив соответствующие коэффициенты  $a_i, b_i$ , получаем выражения для вычисления потенциалов и их градиентов во всех пластах. Полученные выражения представляют собой несобственные интегралы, содержащие функции Бесселя: Применительно к геоэлектрике существует несколько алгоритмов вычисления таких интегралов.

При их вычислении получается функциональ-

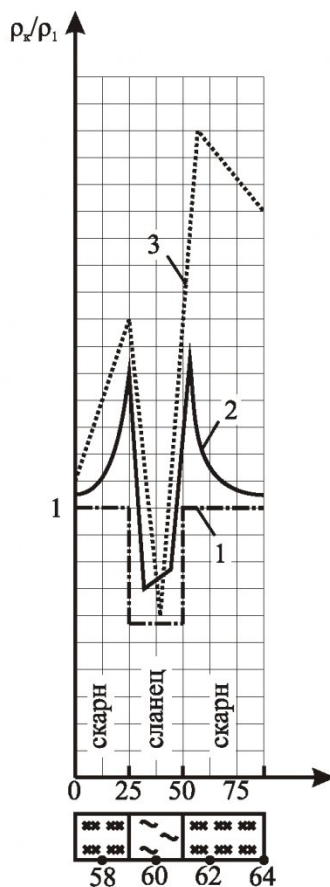


Рис.3. Распределение КУЭС над пластом из сланца

- 1 – модель удельных сопротивлений ( $\rho_2 / \rho_1$ );
- 2 – теоретический график КУЭС;
- 3 – измеренные значения КУЭС;
- 58-64 – номер пикета

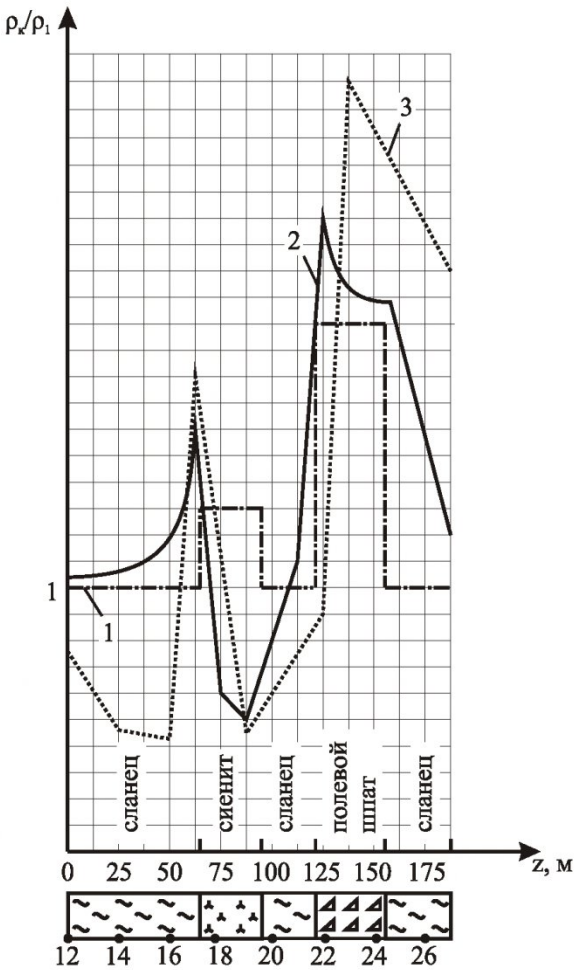


Рис.4. Распределение КУЭС над сближенными пластами из сиенита и полевого шпата

- 1 – модель удельных сопротивлений ( $\rho_2 / \rho_1$ );
- 2 – теоретический график КУЭС;
- 3 – измеренные значения КУЭС;
- 12-26 – номер пикета

ный ряд, коэффициенты которого зависят от геометрических и электромагнитных параметров модели. Эти коэффициенты умножаются на собственные функции, зависящие от величины разности. Применительно к нашей задаче (небольшие по сравнению с электроразведочными работами разности электродов) целесообразно использовать метод расчета потенциала точечного источника тока в многослойной плоскопараллельной модели среды, предложенный в работе [3]. Аппроксимацию подынтегральной функции

$$\Phi = ae^{-mz} + be^{mz}$$

проводят экспоненциальным многочленом по методу Прони, что позволяет произвести взятие несобственного интеграла, используя тождество Вебера-Липшица (аналогичный подход аппроксимации экспонентами – алгоритм Андерсона – используется в электроразведке):

$$\begin{aligned}\Phi &= \int_0^{\infty} \Phi(m, z_0, z) I_0(mr) dm = \\ &= \int_0^{\infty} I_0(mr) \sum_{s=1}^N A_s e^{-mB_s} dm \cong \sum_{s=1}^N \frac{A_s}{\sqrt{r^2 + B_s^2}}\end{aligned}\quad (3)$$

где  $N$  – старшая степень аппроксимирующего многочлена, соответствующая количеству слоев исследуемой модели среды;

$A_s, B_s$  – коэффициенты аппроксимации;

$$r = \sqrt{(x - x_0)^2 + (y - y_0)^2};$$

$x, y, z$  – координаты расчетной точки;

$x_0, y_0, z_0$  – координаты источника тока.

Для расчета коэффициентов аппроксимации  $A_s$  и  $B_s$  определяют корни разностного уравнения через обратную матрицу тёплощадевой структуры, формируют полином из полученных коэффициентов, определяют его экспоненциальные корни  $p = e^{-B_s}$  и решают систему линейных алгебраических уравнений, сформированную корнями полинома в виде матрицы Вандермонда относительно коэффициентов  $A_s$ . При этом получаемые коэффициенты  $B_s$  не знакопеременны (основное условие использования тождества Вебера-Липшица).

Рассмотренный выше алгоритм вычисления значений функции  $\Phi$  для  $n$  – слойной модели среды был реализован на языке *JavaScript* с использованием программ, приведенных в работе [4]. Результаты расчетов приведены на рис. 3, 4.

Результаты расчетов и сравнение их с экспериментальными данными (рис.1-4) показывает, что геологическое строение электроразведочного профиля существенно отражается на характере распределения КУЭС вдоль профиля. Это необходимо учитывать при обработке результатов измерений для оценки напряженного состояния массива.

## СПИСОК ЛИТЕРАТУРЫ

1. Курленя М. В. Геомеханические проблемы разработки железорудных месторождений Сибири / М. В. Курленя, А. А. Еременко, Б. В. Шрепп // Новосибирск, Наука, 2001. – 184 с.
2. Матвеев Б. К. Электроразведка.– Москва, Недра, 1990. – 368 с.
3. Зубов К. Н. Метод расчета заземляющих устройств произвольной конфигурации в неоднородных грунтах / К. Н. Зубков, А. Е. Немировский // Липецк, Вести высш. учеб. заведений Черноземья № 2, 2010. – 21-26 с.
4. Кафтанова Ю.В. Специальные функции математической физики. Часть I. – Харьков, Новое слово, 2009. – 178 с.

Авторы статьи

Дудко Константин Львович,  
ассистент каф. теоретической и геотехнической механики КузГТУ  
e-mail: [constantin.dudko@yandex.ru](mailto:constantin.dudko@yandex.ru)

Шиканов Алексей Иванович  
канд.техн.наук, доцент каф. теоретической и геотехнической механики КузГТУ  
e-mail: [shai.tgm@mail.ru](mailto:shai.tgm@mail.ru)

Поступило в редакцию 09.12.2014